

Map A.—Showing location of recording rain gages with corresponding rainfall histograms and mass curves and lines of equal rainfall depths for the storm of May 26-27, 1984.

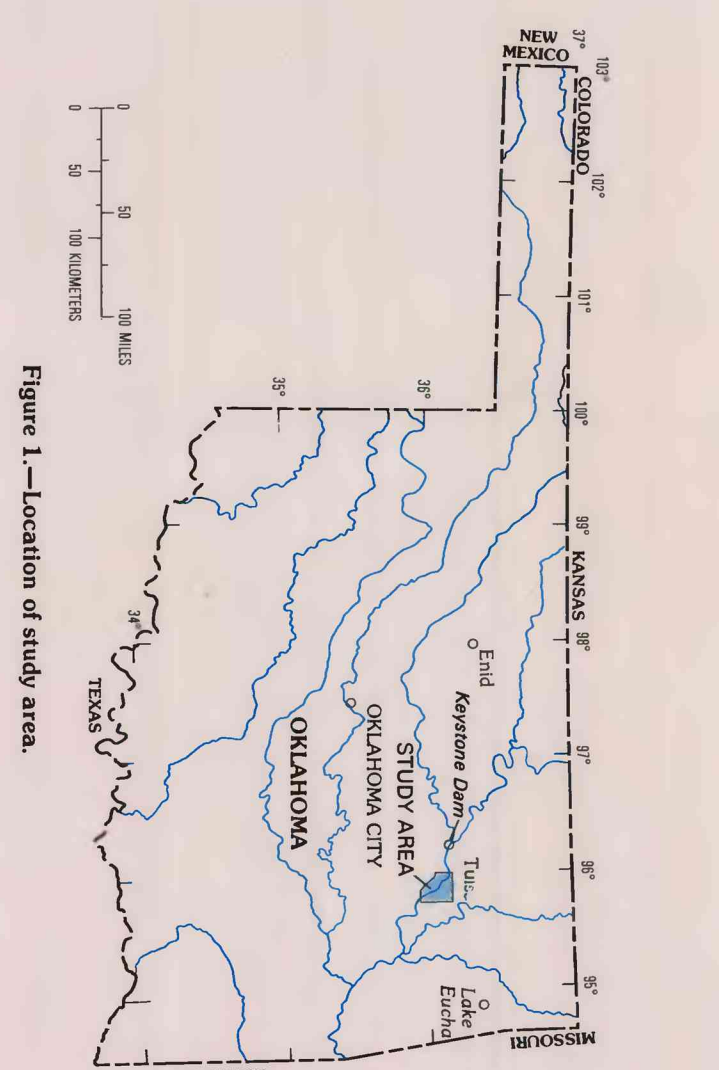
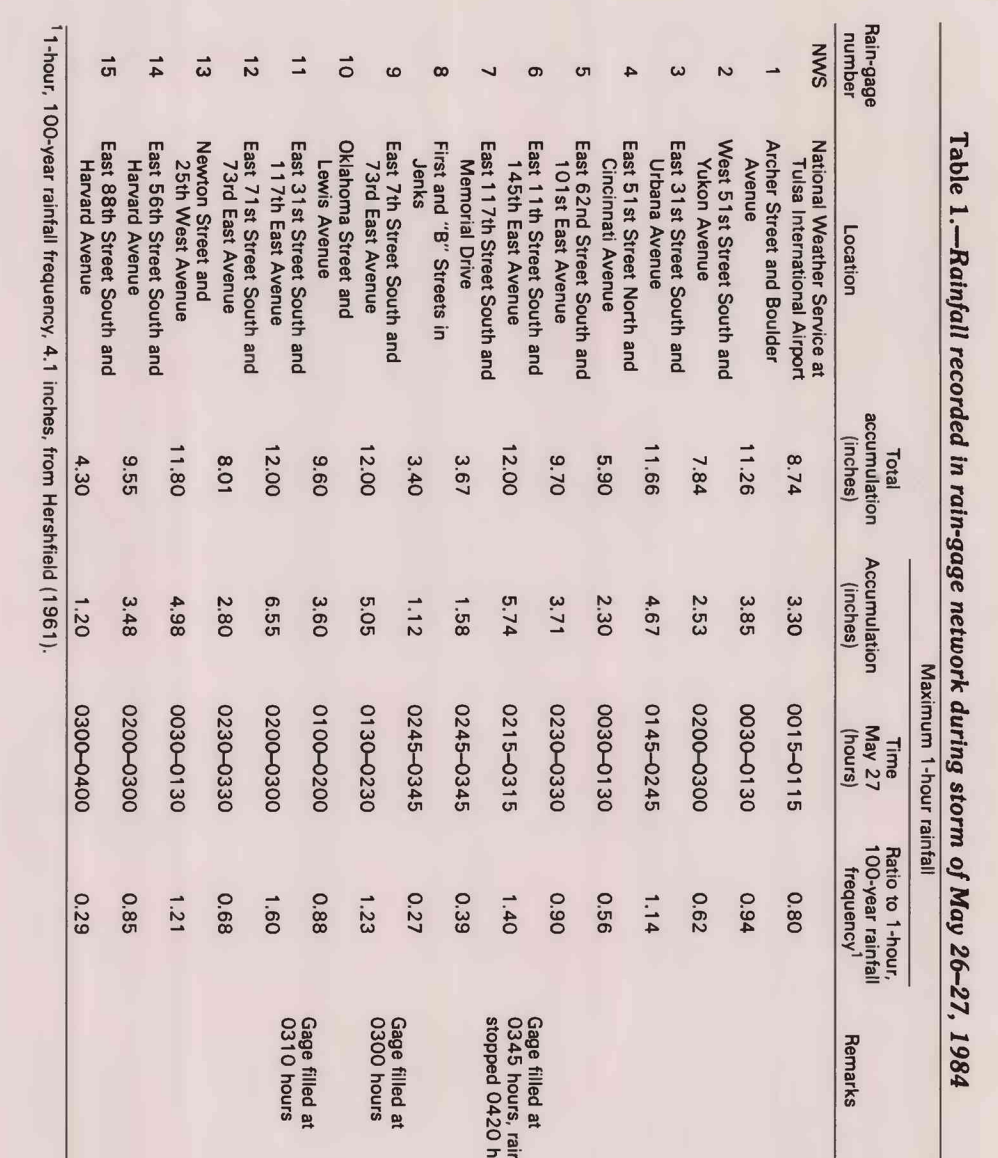
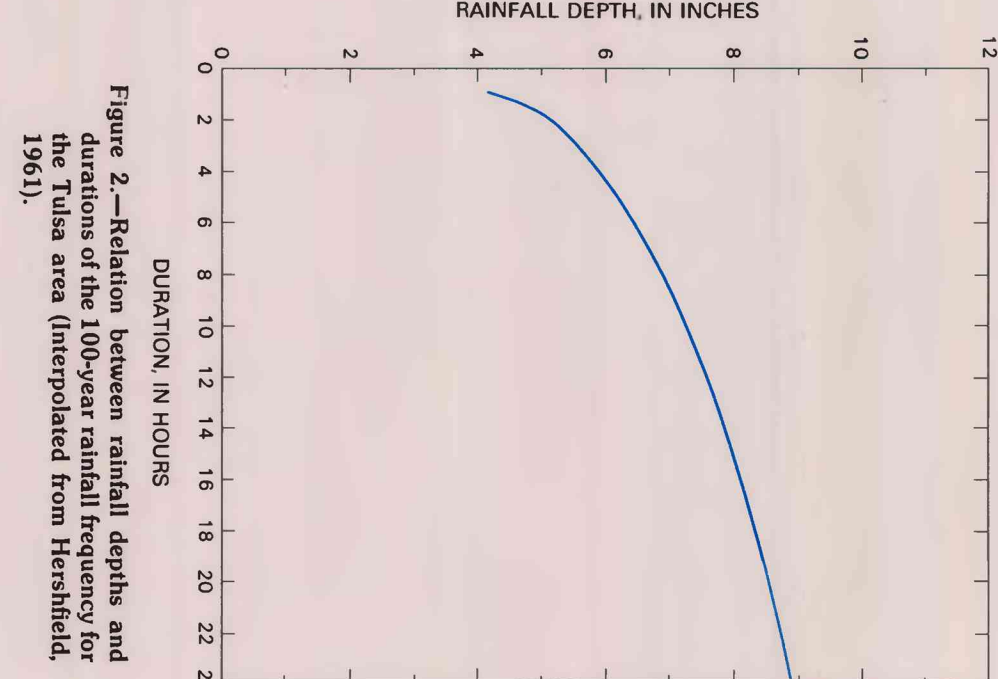


Figure 1.—Location of study area.



DURATION, IN HOURS

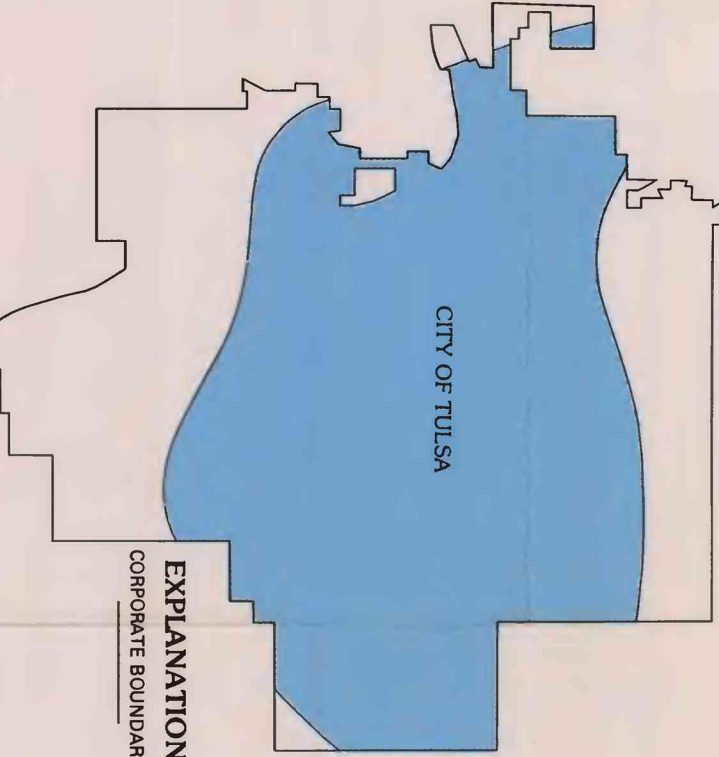


Figure 3.—Approximate area of Tube, Oklahoma

INTRODUCTION

[illegible]

ACKNOWLEDGMENT

recording rain-gage cracks, surveyed high-water marks, and socio-economic data were provided by Robert Hays, Jr. of the Civil Engineering Department, City of Tulsa, Oklahoma. Additional rainfall information was provided by Eldo Bland of the Oklahoma City office of the National Weather Service. The lists of earthquake rainfall depths and flood-damage information were provided by the Tulsa office of the U.S. Army Corps of Engineers.

Rainfall data were recorded by the National

[illegible]

GOOD PEAK DISCHARGE

located in the same region. The discharge rates at selected locations were measured in the summer of 1996. The discharge rates (in $\text{m}^3 \text{ sec}^{-1}$) were converted to the discharge volume (in m^3) per percent of rainfall and represent the discharge volume of the river per unit of rainfall. The discharge volume of the river was estimated by multiplying the discharge rate by the cross-sectional area of the river. Flood discharges were determined by river stage, the composition of the sediment, and the discharge rate. The discharge rate was determined by the discharge volume and the cross-sectional area of the river. The discharge volume of the river was estimated by multiplying the discharge rate by the cross-sectional area of the river. The discharge volume of the river was estimated by multiplying the discharge rate by the cross-sectional area of the river. The discharge volume of the river was estimated by multiplying the discharge rate by the cross-sectional area of the river.

EFFICIENCY

As a placebo control, recovery from the exercise fatigue of the first trial was assessed by measuring the time to exhaustion at 100% of the maximum voluntary contraction (MVC) of the quadriceps muscle. The time to exhaustion was defined as the time when the subject was unable to maintain the force at 100% of the MVC for a further 10 s. The time to exhaustion was measured at 10 min, 1 h, 2 h, 3 h, 4 h, 5 h, 6 h, 7 h, 8 h, 9 h, 10 h, 11 h, 12 h, 13 h, 14 h, 15 h, 16 h, 17 h, 18 h, 19 h, 20 h, 21 h, 22 h, 23 h, 24 h, 25 h, 26 h, 27 h, 28 h, 29 h, 30 h, 31 h, 32 h, 33 h, 34 h, 35 h, 36 h, 37 h, 38 h, 39 h, 40 h, 41 h, 42 h, 43 h, 44 h, 45 h, 46 h, 47 h, 48 h, 49 h, 50 h, 51 h, 52 h, 53 h, 54 h, 55 h, 56 h, 57 h, 58 h, 59 h, 60 h, 61 h, 62 h, 63 h, 64 h, 65 h, 66 h, 67 h, 68 h, 69 h, 70 h, 71 h, 72 h, 73 h, 74 h, 75 h, 76 h, 77 h, 78 h, 79 h, 80 h, 81 h, 82 h, 83 h, 84 h, 85 h, 86 h, 87 h, 88 h, 89 h, 90 h, 91 h, 92 h, 93 h, 94 h, 95 h, 96 h, 97 h, 98 h, 99 h, 100 h, 101 h, 102 h, 103 h, 104 h, 105 h, 106 h, 107 h, 108 h, 109 h, 110 h, 111 h, 112 h, 113 h, 114 h, 115 h, 116 h, 117 h, 118 h, 119 h, 120 h, 121 h, 122 h, 123 h, 124 h, 125 h, 126 h, 127 h, 128 h, 129 h, 130 h, 131 h, 132 h, 133 h, 134 h, 135 h, 136 h, 137 h, 138 h, 139 h, 140 h, 141 h, 142 h, 143 h, 144 h, 145 h, 146 h, 147 h, 148 h, 149 h, 150 h, 151 h, 152 h, 153 h, 154 h, 155 h, 156 h, 157 h, 158 h, 159 h, 160 h, 161 h, 162 h, 163 h, 164 h, 165 h, 166 h, 167 h, 168 h, 169 h, 170 h, 171 h, 172 h, 173 h, 174 h, 175 h, 176 h, 177 h, 178 h, 179 h, 180 h, 181 h, 182 h, 183 h, 184 h, 185 h, 186 h, 187 h, 188 h, 189 h, 190 h, 191 h, 192 h, 193 h, 194 h, 195 h, 196 h, 197 h, 198 h, 199 h, 200 h, 201 h, 202 h, 203 h, 204 h, 205 h, 206 h, 207 h, 208 h, 209 h, 210 h, 211 h, 212 h, 213 h, 214 h, 215 h, 216 h, 217 h, 218 h, 219 h, 220 h, 221 h, 222 h, 223 h, 224 h, 225 h, 226 h, 227 h, 228 h, 229 h, 230 h, 231 h, 232 h, 233 h, 234 h, 235 h, 236 h, 237 h, 238 h, 239 h, 240 h, 241 h, 242 h, 243 h, 244 h, 245 h, 246 h, 247 h, 248 h, 249 h, 250 h, 251 h, 252 h, 253 h, 254 h, 255 h, 256 h, 257 h, 258 h, 259 h, 260 h, 261 h, 262 h, 263 h, 264 h, 265 h, 266 h, 267 h, 268 h, 269 h, 270 h, 271 h, 272 h, 273 h, 274 h, 275 h, 276 h, 277 h, 278 h, 279 h, 280 h, 281 h, 282 h, 283 h, 284 h, 285 h, 286 h, 287 h, 288 h, 289 h, 290 h, 291 h, 292 h, 293 h, 294 h, 295 h, 296 h, 297 h, 298 h, 299 h, 300 h, 301 h, 302 h, 303 h, 304 h, 305 h, 306 h, 307 h, 308 h, 309 h, 310 h, 311 h, 312 h, 313 h, 314 h, 315 h, 316 h, 317 h, 318 h, 319 h, 320 h, 321 h, 322 h, 323 h, 324 h, 325 h, 326 h, 327 h, 328 h, 329 h, 330 h, 331 h, 332 h, 333 h, 334 h, 335 h, 336 h, 337 h, 338 h, 339 h, 340 h, 341 h, 342 h, 343 h, 344 h, 345 h, 346 h, 347 h, 348 h, 349 h, 350 h, 351 h, 352 h, 353 h, 354 h, 355 h, 356 h, 357 h, 358 h, 359 h, 360 h, 361 h, 362 h, 363 h, 364 h, 365 h, 366 h, 367 h, 368 h, 369 h, 370 h, 371 h, 372 h, 373 h, 374 h, 375 h, 376 h, 377 h, 378 h, 379 h, 380 h, 381 h, 382 h, 383 h, 384 h, 385 h, 386 h, 387 h, 388 h, 389 h, 390 h, 391 h, 392 h, 393 h, 394 h, 395 h, 396 h, 397 h, 398 h, 399 h, 400 h, 401 h, 402 h, 403 h, 404 h, 405 h, 406 h, 407 h, 408 h, 409 h, 410 h, 411 h, 412 h, 413 h, 414 h, 415 h, 416 h, 417 h, 418 h, 419 h, 420 h, 421 h, 422 h, 423 h, 424 h, 425 h, 426 h, 427 h, 428 h, 429 h, 430 h, 431 h, 432 h, 433 h, 434 h, 435 h, 436 h, 437 h, 438 h, 439 h, 440 h, 441 h, 442 h, 443 h, 444 h, 445 h, 446 h, 447 h, 448 h, 449 h, 450 h, 451 h, 452 h, 453 h, 454 h, 455 h, 456 h, 457 h, 458 h, 459 h, 460 h, 461 h, 462 h, 463 h, 464 h, 465 h, 466 h, 467 h, 468 h, 469 h, 470 h, 471 h, 472 h, 473 h, 474 h, 475 h, 476 h, 477 h, 478 h, 479 h, 480 h, 481 h, 482 h, 483 h, 484 h, 485 h, 486 h, 487 h, 488 h, 489 h, 490 h, 491 h, 492 h, 493 h, 494 h, 495 h, 496 h, 497 h, 498 h, 499 h, 500 h, 501 h, 502 h, 503 h, 504 h, 505 h, 506 h, 507 h, 508 h, 509 h, 510 h, 511 h, 512 h, 513 h, 514 h, 515 h, 516 h, 517 h, 518 h, 519 h, 520 h, 521 h, 522 h, 523 h, 524 h, 525 h, 526 h, 527 h, 528 h, 529 h, 530 h, 531 h, 532 h, 533 h, 534 h, 535 h, 536 h, 537 h, 538 h, 539 h, 540 h, 541 h, 542 h, 543 h, 544 h, 545 h, 546 h, 547 h, 548 h, 549 h, 550 h, 551 h, 552 h, 553 h, 554 h, 555 h, 556 h, 557 h, 558 h, 559 h, 560 h, 561 h, 562 h, 563 h, 564 h, 565 h, 566 h, 567 h, 568 h, 569 h, 570 h, 571 h, 572 h, 573 h, 574 h, 575 h, 576 h, 577 h, 578 h, 579 h, 580 h, 581 h, 582 h, 583 h, 584 h, 585 h, 586 h, 587 h, 588 h, 589 h, 590 h, 591 h, 592 h, 593 h, 594 h, 595 h, 596 h, 597 h, 598 h, 599 h, 600 h, 601 h, 602 h, 603 h, 604 h, 605 h, 606 h, 607 h, 608 h, 609 h, 610 h, 611 h, 612 h, 613 h, 614 h, 615 h, 616 h, 617 h, 618 h, 619 h, 620 h, 621 h, 622 h, 623 h, 624 h, 625 h, 626 h, 627 h, 628 h, 629 h, 630 h, 631 h, 632 h, 633 h, 634 h, 635 h, 636 h, 637 h, 638 h, 639 h, 640 h, 641 h, 642 h, 643 h, 644 h, 645 h, 646 h, 647 h, 648 h, 649 h, 650 h, 651 h, 652 h, 653 h, 654 h, 655 h, 656 h, 657 h, 658 h, 659 h, 660 h, 661 h, 662 h, 663 h, 664 h, 665 h, 666 h, 667 h, 668 h, 669 h, 670 h, 671 h, 672 h, 673 h, 674 h, 675 h, 676 h, 677 h, 678 h, 679 h, 680 h, 681 h, 682 h, 683 h, 684 h, 685 h, 6

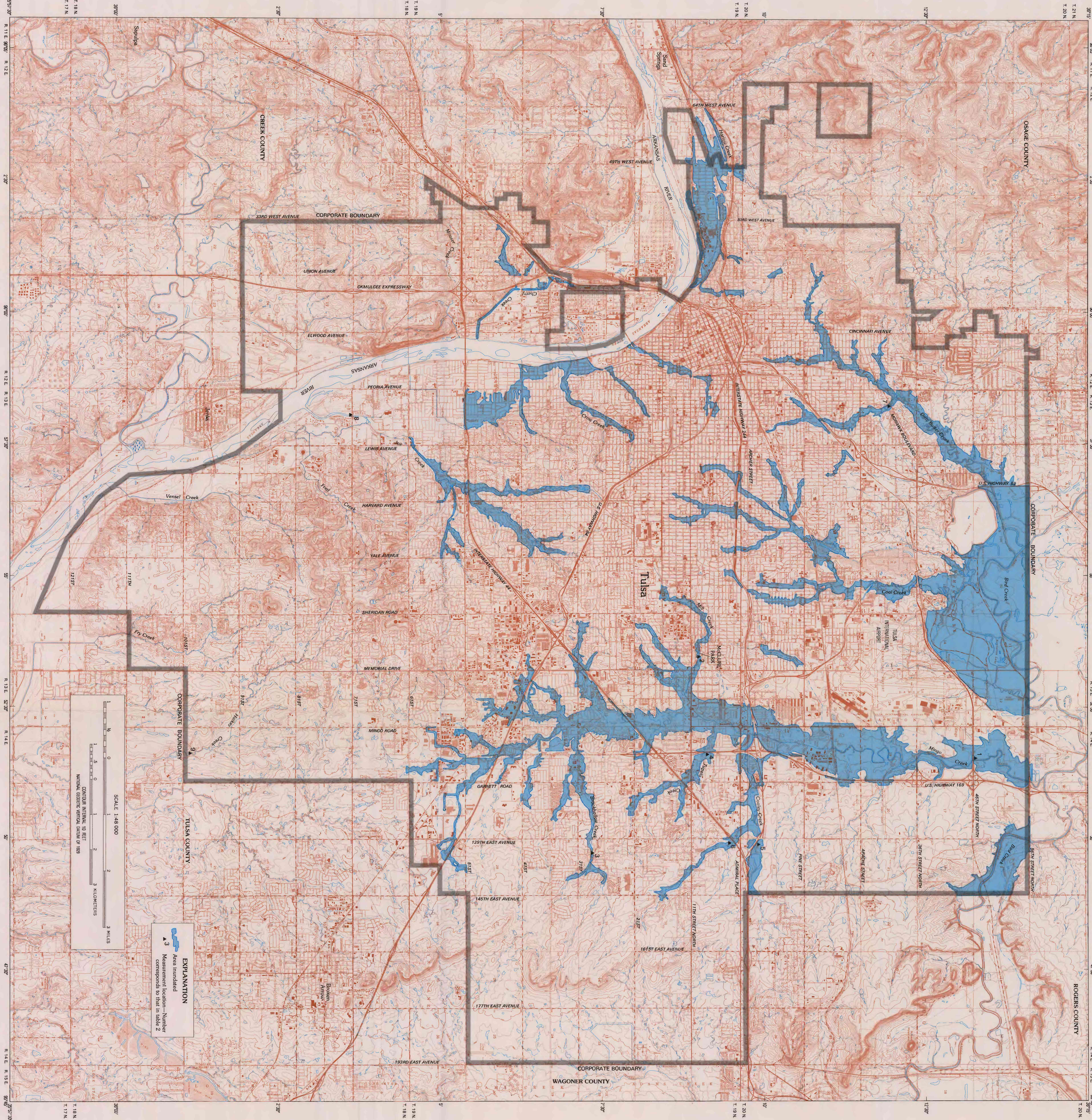
SUMMARY

Rainfall depths exceeded the 100-year recurrence interval for durations of 5 to 8 hours throughout much of the Tulsa metropolitan area during the May 26–27, 1994 storm. Recorded rainfall depths have been exceeded in Oklahoma only by the October 1973 storm in Enid, Oklahoma (Bingman and others, 1974). Flood discharges were determined for selected urban basins after the storm. Flood peak discharges were determined to be greater than the 100-year peak discharge at 1 of 9 sites measured. The peak unit discharge of 4,920 ft³/ft²/mi computed for Mill Creek in McClellan Park, Tulsa, exceeds any known unit discharge in Oklahoma.

[illegible]

CONVERSION FACT

For use of readers who prefer to use metric (International System) units, converted values for items used in this report are listed below:	
By	To obtain metric unit
Multiply fish-pound unit	to obtain metric unit
oiler foot per second (ft^3/s)	0.02732
acre (in)	0.0348
acre (ft)	25.40
square mile (mi^2)	2.580
acre-foot (ft^3)	1.233
oiler foot per second per square mile ($\text{ft}^3/\text{s}/\text{mi}^2$)	0.01094
acre-foot per second per square mile ($\text{ft}^3/\text{s}/\text{mi}^2$)	1.233



Map B.—Showing peak discharge measurement locations and numbers and areas inundated by the flood of May 26–27, 1984

Table 2.—Summary of flood peak discharge for the flood of May 26–27, 1984
[ft³, square mile; ft³/s, cubic feet per second; (ft³/s)/mi², cubic feet per second per square mile]

Table 2.—Summary of flood peak discharge for the flood of May 26–27, 1982.
[m³, cubic meter; m³/s, cubic feet per second; ft³/s, cubic feet per second per square mile]

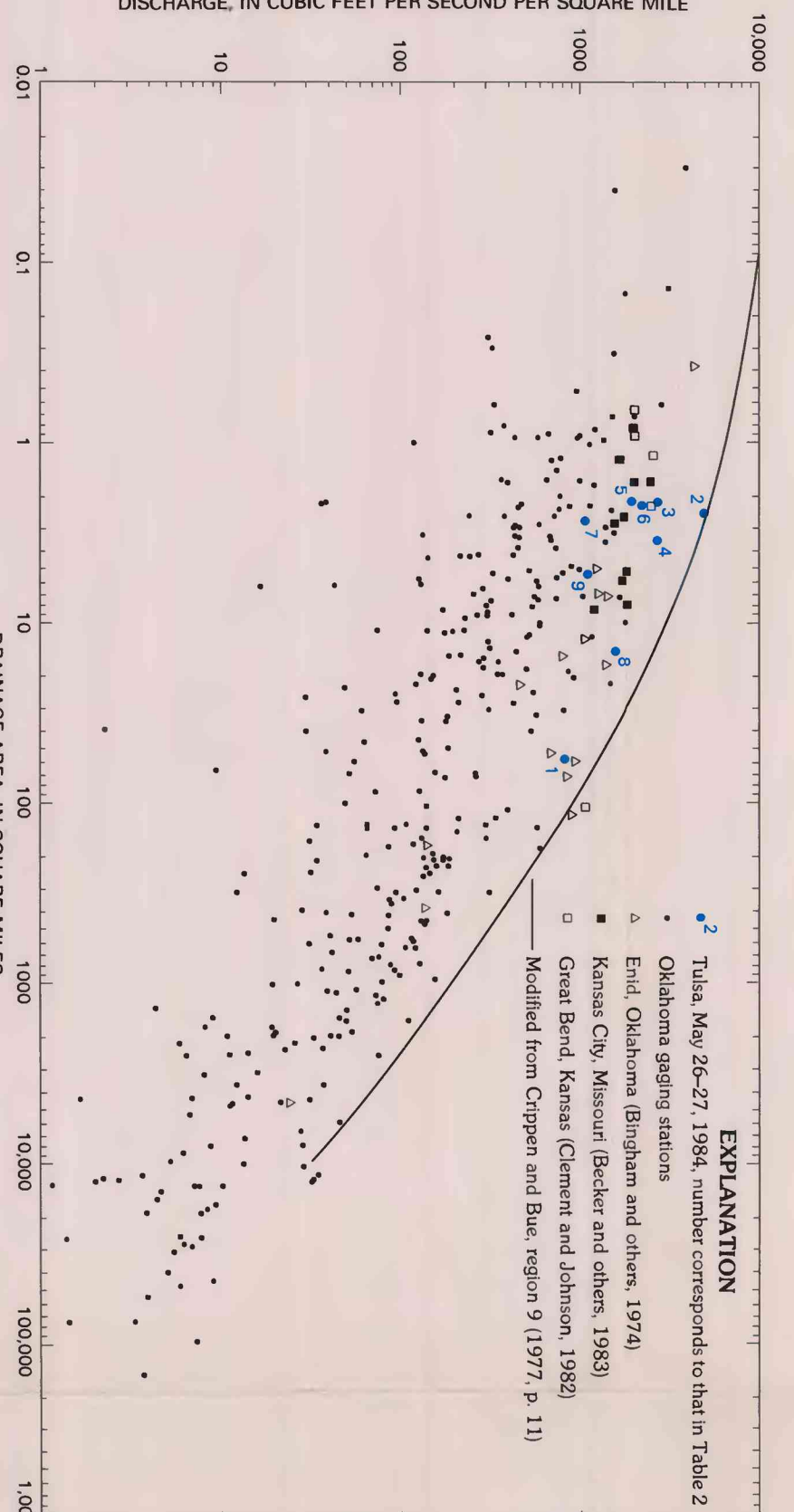


Figure 4.—Comparison of the May 26–27, 1984 unit discharges to upper limits of known floods in the Oklahoma, Texas, Missouri, and Kansas area.

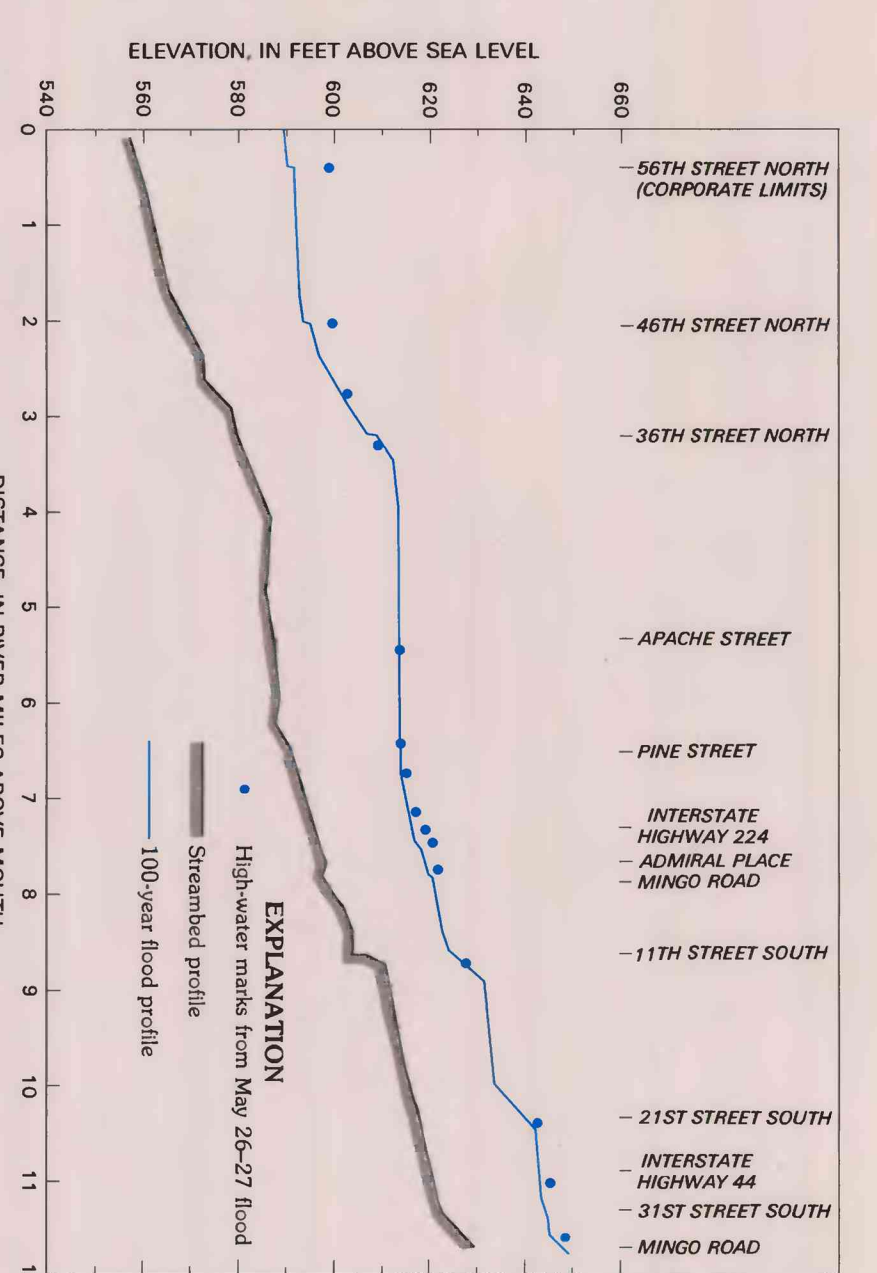


Figure 5.—Comparison of high-water marks from the May 26–27, 1984 flood and the 100-year flood profile along Mingo Creek (Federal Emergency Management Agency, 1985).